

長波のうちあげ高

首藤伸夫*

1. 序

碎波していない長波が、一様勾配を有する斜面上でいなる振舞をしめすか、そして陸岸へどこまではいあがるか、については、Carrier, Greenspan がはじめて取り扱った。彼らは、いわゆる浅水波に対する非線型の式にたくみな変換をほどこすことにより、流速に対する線型の式を導びくことに成功し、これをつかって初期値問題をといたのであった。変換の妥当性が保たれるためには、波高がかなり小さいこと、および波先端部での立上がりの勾配が 0 であることの 2 点が満たされねばならなかつた。

ここでは、問題を Lagrange 風にみつめて解くことにする。このような問題を Lagrange 風に解くことの利点の一つは、水底の境界条件を容易に満足せしめうることであろう。静水時に水底にあった水粒子は、水底から離れることはない、というのが水底での条件になる。陸岸へのはいあがり高の最先端に存在する水粒子は、静水時に汀線にあった水粒子である。

もう一つの利点は、面倒な変換を行なわずとも、第 1 近似の式を線型微分方程式としてうことができる。このため、初期値問題をとく際に Carrier, Greenspan が加えた制限をもっと緩やかな制限でおきかえることができる。

さらに、ある一地点の記録から、それに対応するはいあがりを求めるという境界値問題を解くことができる。もちろん、一地点の記録とは、Euler 風にとられたものであるが、これを Lagrange 風に換算することは可能である。建設省土木研究所で行なわれた約 50 個の実験値から、計算と実測が良い一致を示すことが明らかになつた。

2. 長波に対する Lagrange 型の第 1 近似式

2 次元運動を対象とする。粘性、海底の摩擦は考えない。時刻 $t=t_0$ に (a, b) なる位置にあった水粒子は、時刻 $t=t$ には (x, y) にある。その水粒子がうけている圧力を p とすると、連続の式は、

$$\frac{\partial(x, y)}{\partial(a, b)} = 1 \quad (2-1)$$

運動の式は

* 正会員 中央大学助教授 理工学部土木工学科

$$\frac{\partial^2 x}{\partial t^2} = -\frac{1}{\rho} \cdot \frac{\partial(p, y)}{\partial(a, b)} \quad (2-2)$$

$$\frac{\partial^2 y}{\partial t^2} = -g - \frac{1}{\rho} \cdot \frac{\partial(x, p)}{\partial(a, b)} \quad (2-3)$$

である。ここで y 軸は鉛直上方を正としている。 $\partial(x, y) / \partial(a, b)$ などは Jacobian で、

$$\frac{\partial(x, y)}{\partial(a, b)} = \begin{vmatrix} \frac{\partial x}{\partial a}, & \frac{\partial x}{\partial b} \\ \frac{\partial y}{\partial a}, & \frac{\partial y}{\partial b} \end{vmatrix} \quad (2-4)$$

と表わされる。

ここで、水平方向に対して l 、鉛直方向には d という特性長を考える。長波性の運動は $d/l = \sigma \ll 1$ によって特徴づけられるものとしよう。 $A = a/l$, $B = b/d$, $X = a/l$, $Y = b/d$, $P = p/\rho g d$, $T = \sqrt{gd}t/l$ によって無次元量を導入し、式 (2-1)～(2-3) を書きなおすと、

$$\frac{\partial(X, Y)}{\partial(A, B)} = 1 \quad (2-5)$$

$$\sigma \cdot \frac{\partial^2 X}{\partial T^2} = -\sigma \frac{\partial(P, Y)}{\partial(A, B)} \quad (2-6)$$

$$\sigma^2 \cdot \frac{\partial^2 Y}{\partial T^2} = -1 - \frac{\partial(X, P)}{\partial(A, B)} \quad (2-7)$$

をうる。 (A, B) は静水時の水粒子の位置であると考えてよい。いま、静水時の位置が (X_0, Y_0) であったとしよう。 t_0 時の座標 (A, B) との間には、連続の式により、

$$\frac{\partial(A, B)}{\partial(X_0, Y_0)} = 1 \quad (2-8)$$

が成立する。式 (2-8) と Jacobian の性質から、

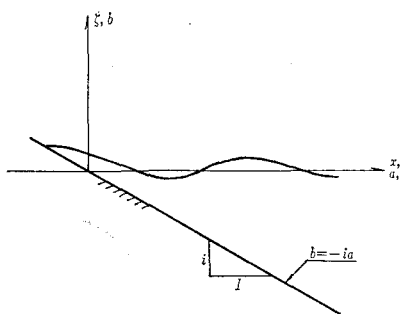
$$\frac{\partial(X, Y)}{\partial(X_0, Y_0)} = \frac{\partial(X, Y)}{\partial(A, B)} \cdot \frac{\partial(A, B)}{\partial(X_0, Y_0)} = \frac{\partial(X, Y)}{\partial(A, B)} \quad (2-9)$$

であるから、 (A, B) を静水時の位置と考えてもよいことは明らかであろう。運動の静水時位置からのへだたりは小さいと考えて摂動を行なう。いわゆる Miche の静水座標による表示を採用する訳である。 (A, B) を静水時座標とすると、

$$\left. \begin{aligned} X &= A + \sigma X_1(A, B; T) + \sigma^2 X_2(A, B; T) + \dots \\ Y &= B + \sigma Y_1(A, B; T) + \sigma^2 Y_2(A, B; T) + \dots \\ P &= P_0 + \sigma P_1(A, B; T) + \sigma^2 P_2(A, B; T) + \dots \end{aligned} \right\} \quad (2-10)$$

と展開する。 P_0 は (A, B) の関数であってよい。式 (2-10) を (2-5), (2-6), (2-7) に代入して σ に関して

図-3 座標軸と水底のとり方



$$Y(A, -IA; T) = -I \cdot X(A, -IA; T) \quad (4-1)$$

でなければならぬ。式(2-10)の展開をつかうと、

$$\begin{aligned} B + \sigma Y_1(A, -IA; T) + \sigma^2 Y_2(A, -IA; T) + \dots \\ = -IA - \sigma I \cdot X_1(A, -IA; T) - \sigma^2 I \cdot X_2(A, -IA; T) + \dots \end{aligned} \quad (4-2)$$

であるから、

$$\left. \begin{aligned} B &= -IA, \\ Y_1 &= -IX_1, \text{ at } B = -IA \end{aligned} \right\} \quad (4-3)$$

が水底での条件となる。

表面での条件は $B=0$ に対し $P_0=0, P_1=0$ である。

圧力の第0近似の解は、式(2-11), (2-12)と上の条件から

$$P_0 = -B \quad (4-4)$$

である。

Y_1 は、式(2-13)と(4-3)から、

$$Y_1 = - \int_{-IA}^B \frac{\partial X_1}{\partial A} dB - IX_1(A, -IA; T) \quad (4-5)$$

P_1 は、式(2-15)と表面条件から

$$P_1 = \int_0^B \frac{\partial X_1}{\partial A} dB \quad (4-6)$$

したがって、

$$P_1 + Y_1 = \int_0^{-IA} \frac{\partial X_1}{\partial A} dB - IX_1(A, -IA; T) \quad (4-7)$$

式(2-14)から X_1 に対する式、

$$\begin{aligned} \frac{\partial^2 X_1}{\partial T^2} + \frac{\partial}{\partial A} \left[\int_0^{-IA} \frac{\partial X_1}{\partial A} dB - IX_1(A, -IA; T) \right] \\ = 0 \end{aligned} \quad (4-8)$$

がえられる。第2項は B には関係しないので、 X_1 も A, T のみの関数でなくてはならない。 X_1 をきめるためには、

$$\begin{aligned} \frac{\partial^2 X_1}{\partial T^2} + \frac{\partial}{\partial A} \left[-IA \frac{\partial X_1}{\partial A} - IX_1 \right] = 0 \\ \therefore \frac{\partial^2 X_1}{\partial T^2} = \frac{\partial^2}{\partial A^2} [IX_1] \end{aligned} \quad (4-9)$$

をとけばよいことになる。

式(4-9)を表面にある水粒子の鉛直方向変位 η に関する式になおす。式(4-5)から

$$\begin{aligned} \eta &= - \int_{-IA}^0 \frac{\partial X_1}{\partial A} dB - IX_1 = -IA \cdot \frac{\partial X_1}{\partial A} \\ - IX_1 &= -\frac{\partial}{\partial A} [IA X_1] \end{aligned} \quad (4-10)$$

式(4-9)に $-IA$ をかけて A について微分すると、

$$\begin{aligned} \frac{\partial^3}{\partial T^2 \partial A} [-IA X_1] &= \frac{\partial}{\partial A} \left[-IA \frac{\partial^2}{\partial A^2} (IA X_1) \right] \\ &= \frac{\partial}{\partial A} \left[IA \frac{\partial \eta}{\partial A} \right] \\ \therefore \frac{\partial^2 \eta}{\partial T^2} &= \frac{\partial}{\partial A} \left[IA \frac{\partial \eta}{\partial A} \right] = IA \frac{\partial^2 \eta}{\partial A^2} + I \frac{\partial \eta}{\partial A} \end{aligned} \quad (4-11)$$

この解として、

$$\eta = \begin{bmatrix} \sin nT \\ \cos nT \end{bmatrix} \begin{bmatrix} J_0 \left(\frac{2n}{\sqrt{I}} \sqrt{A} \right) \\ N_0 \left(\frac{2n}{\sqrt{I}} \sqrt{A} \right) \end{bmatrix} \quad (4-12)$$

がえられる。これに対応して、

$$\begin{aligned} X_1 &= - \begin{bmatrix} \sin nT \\ \cos nT \end{bmatrix} \left[\frac{1}{n} \frac{1}{\sqrt{IA}} Z_1 \left(\frac{2n}{\sqrt{I}} \sqrt{A} \right) \right] \\ Y_1 &= -(B + IA) \begin{bmatrix} \sin nT \\ \cos nT \end{bmatrix} \left[\frac{1}{IA} Z_2 \left(\frac{2n}{\sqrt{I}} \sqrt{A} \right) \right] \\ &\quad + I \begin{bmatrix} \sin nT \\ \cos nT \end{bmatrix} \left[\frac{1}{n} \frac{1}{\sqrt{IA}} Z_1 \left(\frac{2n}{\sqrt{I}} \sqrt{A} \right) \right] \\ P_1 &= B \begin{bmatrix} \sin nT \\ \cos nT \end{bmatrix} \left[\frac{1}{IA} Z_2 \left(\frac{2n}{\sqrt{I}} \sqrt{A} \right) \right] \end{aligned} \quad (4-13)$$

がえられる。 Z_n は n 次の Bessel 関数、Neumann 関数を表わしている。

波群が無限に続いているときを考えよう。反射率 1.0 で沖で完全重複波が存在する場合には、

$$\begin{aligned} \eta &= \sin nT \cdot J_0 \left(\frac{2n}{\sqrt{I}} \sqrt{A} \right) \\ X_1 &= -\frac{1}{n \sqrt{IA}} J_1 \left(\frac{2n}{\sqrt{I}} \sqrt{A} \right) \sin nT \\ Y_1 &= - \left[\frac{B}{IA} J_2 \left(\frac{2n}{\sqrt{I}} \sqrt{A} \right) - J_0 \left(\frac{2n}{\sqrt{I}} \sqrt{A} \right) \right] \sin nT \\ P_1 &= \frac{B}{IA} J_2 \left(\frac{2n}{\sqrt{I}} \sqrt{A} \right) \sin nT \end{aligned} \quad (4-14)$$

反射率 0 のときには、

$$\begin{aligned} \eta &= \sin nT \cdot J_0 \left(\frac{2n}{\sqrt{I}} \sqrt{A} \right) + \cos nT \cdot N_0 \left(\frac{2n}{\sqrt{I}} \sqrt{A} \right) \\ X_1 &= -\frac{1}{n \sqrt{IA}} \left[J_1 \left(\frac{2n}{\sqrt{I}} \sqrt{A} \right) \sin nT \right. \\ &\quad \left. + N_1 \left(\frac{2n}{\sqrt{I}} \sqrt{A} \right) \cos nT \right] \\ Y_1 &= - \left[\frac{B}{IA} J_2 \left(\frac{2n}{\sqrt{I}} \sqrt{A} \right) - J_0 \left(\frac{2n}{\sqrt{I}} \sqrt{A} \right) \right] \sin nT \\ &\quad - \left[\frac{B}{IA} N_2 \left(\frac{2n}{\sqrt{I}} \sqrt{A} \right) - N_0 \left(\frac{2n}{\sqrt{I}} \sqrt{A} \right) \right] \\ &\quad \cdot \cos nT \\ P_1 &= \frac{B}{IA} \left[J_2 \left(\frac{2n}{\sqrt{I}} \sqrt{A} \right) \sin nT + N_2 \left(\frac{2n}{\sqrt{I}} \sqrt{A} \right) \right. \\ &\quad \left. \cdot \cos nT \right] \end{aligned} \quad (4-15)$$

$$\left. \begin{array}{l} s\eta_s(s, p) = 0 \\ s\eta(s, p)J_1(ms) = 0 \end{array} \right\} \dots \quad (4-29)$$

が満たされればよい。結局、 $s=0$ のところで、

$$s \eta_s(s, p) = 2 A \eta_A = 0 \quad \dots \dots \dots \quad (4-30)$$

が満たされればよい。Carrier-Greenspan の与えた条件は $\eta_A = 0$ であったが、式(4-30)はそれよりは少し緩やかなものである。式(4-30)の条件下で式(4-27)を書きなおすと、

$$\eta(s, \tau) = \int_0^{\infty} \int_0^{\infty} [\text{m } \eta(r, 0) \cos m \tau + \eta_r(r, 0) \sin \tau] r J_0(r m) J_0(s m) dr dm \quad (4-30)$$

が初期値問題の解を与える。

つぎに境界値問題を考えよう。 $s=r$ の場所で、

という運動をする場合をとりあげる。式(4-17)を τ についてFourier変換する。

$$F(s, u) = \frac{1}{\sqrt{2\pi}} \int_{-\infty}^{+\infty} \eta(s, \tau) e^{i u \tau} d\tau$$

とすると、式(4-17)は

$$F_{ss}(s, u) + \frac{1}{s} F(s, u) = -u^2 F(s, u) \quad \dots\dots(4-32)$$

となり、

が解である。式(4-31)のFourier変換を

$$G(r, u) = \frac{1}{\sqrt{2\pi}} \int_{-\infty}^{+\infty} g(\tau) e^{i u \tau} d\tau \dots \quad (4-34)$$

すると、式(4-33)の $A(u)$ をきめることができ、結局、

$$F(s, u) = G(r, u) \cdot \frac{Z_0(su)}{Z_0(ru)} \quad \dots \dots \dots \quad (4-35)$$

したがって、

$$\eta(s, \tau) = \frac{1}{\sqrt{2\pi}} \int_{-\infty}^{+\infty} \frac{Z_0(su)}{Z_0(ru)} G(r, u) e^{-iu\tau} du \dots$$

..... (4-36)

が解である。

5. 実験値との比較

実験に際しては、時間的に有限な正弦波形を与えることが多いので、 $q(t)$ としてつきのものを考えよう。

$$\left. \begin{aligned} g(\tau) &= 0 & \tau \leq 0 \\ &= \sin n \sigma \tau & 0 \leq \tau \leq T = \frac{2\pi}{n\sigma}, \\ &= 0 & T < \tau \end{aligned} \right\} \dots (5-1)$$

$$G(r, u) = \frac{1}{\sqrt{2\pi}} \int_{-\infty}^{+\infty} g(\tau) e^{i\tau u} d\tau$$

$$= \frac{1}{\sqrt{2\pi}} \int_0^{2\pi/n\sigma} \sin n\sigma\tau e^{i\tau u} d\tau$$

$$= \frac{n\sigma}{\sqrt{2\pi}} \frac{1}{e^{i2\pi/n\sigma} - 1} [e^{i2\pi/n\sigma} - 1] \quad \dots (5-2)$$

反射率1.0のときを考えると、

$$\begin{aligned}\eta(s, \tau) &= \frac{1}{\sqrt{2\pi}} \int_{-\infty}^{+\infty} \frac{J_0(su)}{J_0(ru)} G(r, u) e^{-iu\tau} du \\ &= \frac{J_0(n\sigma s)}{J_0(n\sigma r)} \cdot [\sin n\sigma\tau - \sin(n\sigma\tau - 2\pi)] \\ &\quad - 2 \sum_{m=1}^{\infty} \frac{n\sigma r}{(a_m^2 - n^2\sigma^2 r^2)} \cdot \frac{J_0\left(\frac{a_m}{r}s\right)}{J_1(a_m)} \cdot \\ &\quad \left[\sin \frac{a_m}{r}\tau - \sin \frac{a_m}{r}\left(\tau - \frac{2\pi}{n\sigma}\right) \right] \dots \quad (5-3)\end{aligned}$$

をうる。ただし、 α_m は $J_0(x)=0$ に対応する x の値である。右辺第1項は強制振動による項で、このうち 2π だけおくれた項は $\sin n\sigma t$ が1周期だけくり返されたあとで消えてしまうために加わった項である。 s 地点の強制振動による運動は、 r 地点の波形を $J_0(n\sigma s)/J_0(n\sigma r)$ 倍したものに相当する。第2項は自由振動に相当するが、もしこのような振動がおこっていたにしても、 r 地点の記録からは、しることができない。なぜなら、 $s=r$ のとき $J_0(\alpha_m)=0$ であるから、第2項は消えてしまうのである。強制振動による振幅を A_F 、自由振動の振幅を A_L とすると、表-1 のような関係がある。こ

表-1

条件	A_E/A_L	
$s \sigma \ll 1$ $r \sigma \ll 1$ $\alpha_m \gg r \sigma$ $\frac{s}{r} \alpha_m \gg s \sigma$	$> 0.62 \frac{\alpha_m}{r \sigma} \gg 1$	
$s \sigma \gg 1$ $r \sigma \gg 1$	$\frac{s}{r} \alpha_m \ll s \sigma \ll 1$ $r \sigma \ll \alpha_m$, $\frac{s}{r} \alpha_m \gg s \sigma$,	$> \frac{1}{2} \frac{(r \sigma)^{3/2}}{\sqrt{\alpha_m}} \gg 1$ $> \frac{1}{2} \frac{\sqrt{\alpha_m} \alpha_m}{\sqrt{r \sigma}} \gg 1$
$s \ll r$	$r \sigma \gg \alpha_m$, $\frac{s}{r} \alpha_m \ll s \sigma$,	$> 0.4 \sqrt{\frac{r}{s}} \cdot \frac{r \sigma}{\sqrt{\alpha_m}} \gg 1$
$r \sigma \gg 1$	$r \sigma \ll \alpha_m$, $\frac{s}{r} \alpha_m \gg s \sigma \gg 1$,	$> \frac{1}{2} \frac{\alpha_m^2}{r \sigma} \gg 1$

こでは、基本となる $n=1$ の場合について考えている。 $\sigma r = \alpha_m$ のときには、両項とも振幅が無限大になるけれども、位相は第2項の方が $\pi/2$ 遅れることになる。以上のことから、もし σr が 1.0 にくらべて小さければ、汀線から陸岸への波のはいあがりの大勢は、ほとんど強制振動に対応する項によってきめられる。

このことは実験値によっても明らかにされる。実験波形は昨年度の報告にあったとおり、正弦波が半周期続くもの、峯が $1/8$ 周期のところにあるようにひずんだものの二通りである。このように半周期間振動がつづく場合について解くと、式(5-3)はほとんど同じで、ただ、 $\sin(n\sigma t - 2\pi)$ の代りに $\sin(n\sigma t - \pi)$ 、 $\sin \alpha_m/r(\tau - 2\pi/n\sigma)$ の代りに $\sin \alpha_m/r(\tau - \pi/n\sigma)$ が表われる。強制振

動が卓越する場合、峯が一つであれば、立上りから峯までの時間が $1/4$ 周期であると考えた方がよい。このように考えて、峯の位置が前にずれたものに対しては周期のとり方をかえることとする。 r 地点の波形の最大値を H' 、うちあげ高の最大値を R とすると、

$$R = \frac{H'}{J_0(\sigma r)} \quad \dots \dots \dots \quad (5-4)$$

となる。 r は記録をとった場所に対応するもので、 $r = \sqrt{A_r}$ 、これを次元をもつ量で書きなおすと、 $r = \sqrt{a_r/l}$ 、である。 σr は式 (4-16) を考えると $\sigma r = \sqrt{l/2} \sigma \cdot T$ 、これを次元をもつ量にすると $\sigma r = \sigma/2 \cdot \sqrt{il/d} \cdot \sqrt{gd} t/l =$

図-4 式(5-4)による計算値と実験値との比較

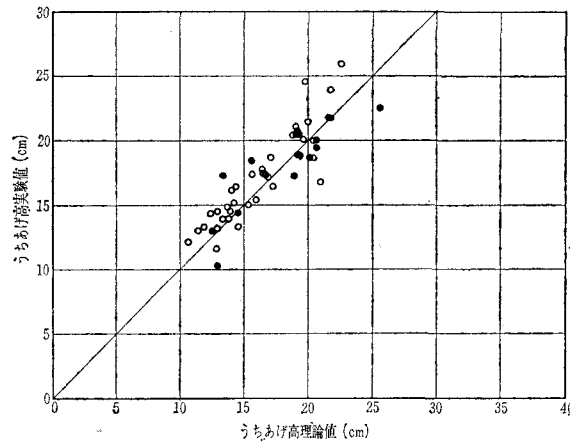


图-5 $H'/A \sim U$

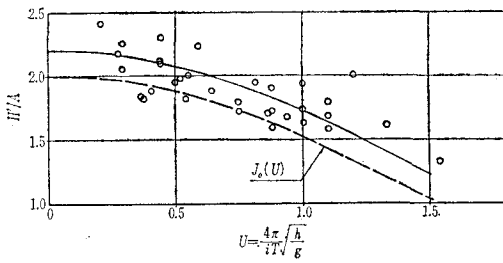
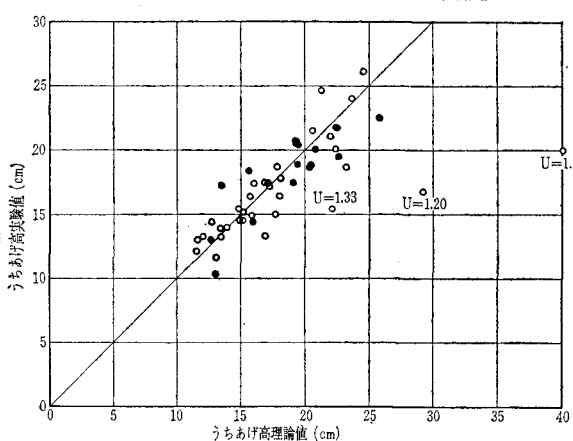


図-6 式(5-9)の修正を行なったものの計算値と実験値との比較



$\sigma/2 \cdot \sqrt{g/l} \cdot \sqrt{i} t = 2\pi/T_0 t$ である。ただし T_0 は 1 周期である。したがって、

$$\sigma r = \frac{4\pi}{iT_0} \sqrt{\frac{h}{q}} = U \dots \dots \dots \quad (5-5)$$

h は記録をとったところの水深に対応する。表-2 は、立上りから峯までの時間が $T_0/4$ であると考えて H' より式(5-4)によって R を計算したものと実験値をくらべたもので、その結果は 図-4 のとおりである。表-2 のなかで H' に括弧のついているものは、 H' の測定値がないときに一定水深の場所での進行波としての波高からつぎのような方法で H' を推定して求めたものである。

H' が欠測しているのは、幸いにして周期のかなり長いものであった。 H' は、ほぼ $2A$ (A は入射してくる波の半波高) 程度になるのであろうと思われる。 $H'/2A$ と $U=4\pi/iT\cdot\sqrt{h/g}$ の関係を調べると図-5 のとおりとなる。図中破線は $J_0(U)$ の曲線である。点のバラツキの傾向は $J_0(U)$ に似ており、それより若干大きめであるから、大体実線のようなものが平均的曲線であろう。この関係から H' を推定して求めた。図-4, 6 中の黒点はこのような推定値からのうちあげ高計算値を示す。

ところで式(5-3)で自由振動を無視すると、 H' と R の関係は式(4-14)から与えられるものとまったく同じになる。したがって表面にある水粒子の動きは、 $U=4\pi/iT_0\sqrt{b/g}$ とかくと、

$$\eta/x_1 = -\frac{iJ_0(U)}{2UJ_1(U)} \quad \dots \dots \dots \quad (5-6)$$

のような直線運動をする。水深 h_1 のところの記録の最大値は h_1 より深い水深 h_2 の場所にあった水粒子によって与えられる。 h_2 の場所までの距離 L_2 , h_1 までの距離 L_1 とすると、 h_2 にあった水粒子の水平方向変位の最大値 x_{12} との間には、

$$L_2 - L_1 = -x_{12} = \frac{2a}{iU_2} J_1(U_2)$$

が成立する。 a は波高に関係する定数である。これから $iL_2 = h_2$, $iL_1 = h_1$ であることにより,

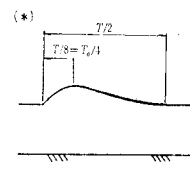
h_1 でとられた最高水位 H' は

この結果が図-6である。図中、非常にかけはなれた3点の傍に書いてある数字は U_i の値である。

表-2

番号	水深	T/2	A	U ₁	H'	J ₀ (U ₁)	うちあげ高			H'/A
							実験値	(5-4)	(5-9) による 修正後	
18	30	120	6.0	0.274	13.0	0.98	13.9	13.3	13.4	2.18
19	30	160	5.3	0.206	12.7	0.99	11.6	12.8	13.0	2.42
85*	30	40	7.5	1.54	10.0	0.49	20.0	20.4	40.0	1.33
86*	30	60	10.3	1.10	16.3	0.72	26.0	22.6	24.4	1.58
65*	30	75	10.0	0.88	15.9	0.81	20.1	19.6	22.4	1.59
61*	30	70	9.0	0.94	15.0	0.79	21.1	19.0	22.0	1.67
67*	30	75	8.7	0.88	16.5	0.81	18.7	20.4	23.2	1.90
92*	30	80	9.0	0.82	17.5	0.80	24.0	21.8	23.6	1.94
59*	30	60	6.7	1.10	11.0	0.72	15.0	15.3	17.7	1.64
64*	30	75	7.0	0.88	11.6	0.81	16.4	14.3	15.7	1.66
88*	30	60	5.6	1.10	10.0	0.72	14.5	13.9	15.1	1.79
72*	30	160	8.2	0.41	15.0	0.96	17.4	15.6	16.0	1.88
93*	30	120	6.0	0.55	12.0	0.93	13.2	12.9	13.4	2.00
71*	30	180	8.7	0.366	16.0	0.97	17.5	16.5	16.9	1.84
41*	25	50	7.0	1.20	14.0	0.67	16.8	20.9	29.2	2.00
37*	25	60	6.0	1.00	9.8	0.76	14.5	12.9	14.9	1.63
38*	25	45	5.9	1.33	9.5	0.60	15.4	15.9	22.1	1.61
39*	25	60	6.0	1.00	10.4	0.76	14.9	13.7	15.8	1.73
44*	25	80	7.9	0.75	14.1	0.86	17.8	16.4	18.1	1.79
47*	25	60	5.7	1.00	11.0	0.76	13.3	14.5	16.9	1.93
50*	25	80	7.0	0.75	12.0	0.66	15.2	14.0	15.2	1.72
48*	25	100	7.5	0.60	12.9	0.91	15.5	14.2	14.8	1.72
43*	25	70	5.1	0.86	8.7	0.82	12.1	10.6	11.5	1.71
53*	25	160	8.8	0.376	16.0	0.96	17.5	16.7	17.0	1.82
49*	25	115	8.1	0.52	16.0	0.93	16.5	17.2	18.0	1.98
54*	25	120	5.7	0.50	11.1	0.94	13.3	11.8	12.2	1.95
75	35	55	9.6	0.645	18.0	0.91	24.6	19.8	21.2	1.88
77	35	60	7.0	0.59	15.6	0.92	18.7	17.0	17.8	2.23
81	35	80	9.0	0.444	19.0	0.95	21.5	20.0	20.6	2.11
76	35	65	6.3	0.546	11.5	0.93	14.4	12.4	12.7	1.82
80	35	80	7.6	0.444	16.0	0.95	17.2	16.9	17.2	2.10
83	35	120	9.0	0.296	18.5	0.98	20.5	18.8	19.2	2.05
79	35	80	4.7	0.444	10.8	0.95	13.0	11.4	11.6	2.30
82	35	120	6.0	0.296	13.5	0.98	14.0	13.8	13.9	2.26
14	30	120	8.5	0.274	(18.5)	0.98	17.3	18.9	19.1	
21	30	120	7.1	0.274	(15.4)	0.98	14.4	15.7	15.9	
11	30	110	6.0	0.300	(13.0)	0.98	17.3	13.3	13.5	
15	30	160	8.6	0.205	(18.9)	0.99	20.6	19.1	19.2	
16	30	160	7.0	0.205	(15.4)	0.99	18.4	15.5	15.6	
94*	30	120	9.3	0.55	(19.1)	0.93	19.5	20.6	22.6	
96*	30	180	8.6	0.366	(18.4)	0.96	18.9	19.2	19.4	
69*	30	120	8.7	0.55	(17.9)	0.93	18.9	19.4	20.4	
95*	30	180	5.6	0.366	(12.0)	0.96	13.0	12.5	12.6	
58*	25	150	9.8	0.400	(20.8)	0.96	21.8	21.6	22.4	
57*	25	150	9.8	0.400	(20.8)	0.96	21.8	21.6	22.4	
56*	25	180	5.8	0.33	(12.5)	0.97	10.3	12.9	13.0	
23	25	140	11.5	0.214	(25.2)	0.985	22.5	25.6	25.8	
22	25	120	9.0	0.25	(19.6)	0.98	18.7	20.0	20.3	
26	25	120	8.6	0.25	(18.7)	0.98	20.8	19.1	19.3	
27	25	120	8.7	0.25	(19.0)	0.98	20.5	19.3	19.5	
84	35	160	9.3	0.22	(20.3)	0.985	20.1	20.6	20.8	

実験波波形



実験の場合には、斜面は途中で折れて一様水深の水路につながっており、この折れ曲り点において波形記録をおさえている。式(5-9)で与えられる h_2 は実際には存在しない。実際の現象を支配する h は記録をとった場所の水深 h_1 と、式(5-9)により求められる h_2 の中間にあるであろう。

6. 結論

ラグランジュ型の長波に対する第1近似の式は、一樣傾斜斜面上において、境界の条件を容易に満足せしめうることがわかった。うちあげ高の最大位置は、静水時に $a=0$, $b=0$ にあった水粒子によって実現される。

実験波形と似た形の波を与えてとくと、水深 h_1 のところの記録の最高水位 H' と、最大うちあげ高 R との間には

$$R = \frac{H'}{J_0(U_2)}, \quad U_2 = \frac{4\pi}{iT} \sqrt{\frac{h_2}{g}},$$

$$h_2 - h_1 = \frac{2J_1(U_2)}{U_2 J_0(U_2)} H'$$

の関係があることがわかった。 $U_1 \leq 1.0$ の範囲では U_1 をつかっても U_2 をつかって大体同じ R をうるが、どちらかといえば U_2 をつかった方がよい。 $U_1 > 1.0$ になると U_2 をつかった値は大きくなりすぎる。これは実験においては一樣な傾斜が無限に続くことなく、途中から水平底に変わっていることの影響であるとおもわれる。全体としてみれば $U_1 \leq 1.5$ 位の範囲で U_1 をつかって計算すれば、十分であろう。また、進行波としての波高しかわからなかったときには、図-5の曲線を併用すれば良い結果をうることができると。

資料を提供された建設省土木研究所鹿島水理試験所特に松村圭二技官に感謝の意を表す。

参考文献

- Carrier, G.F. & Greenspan, H.P.: Water waves of finite amplitude on a sloping beach, J.F.M. 1958.
- Greenspan, H.P.: On the breaking of water waves of finite amplitude on a sloping beach, J.F.M. 1958.
- 首藤伸夫・松村圭二: 長波について——一様傾斜斜面上へのうちあげ高——, 第12回海岸工学講演会講演集, 1965.